

- lar sodium in the predisposition of the heart to the Calcium paradox // Biomed. et biochim. acta. — 1987. — 46, N 8/9. — П. 512—516.
14. Grinwald P. M., Nayler W. G. Calcium entry in Calcium paradox // J. Mol. and Cell Cardiol. — 1981. — 13, N 8. — P. 867—881.
  15. Grinwald P. M. Calcium uptake during postischemic reperfusion in the isolated rat heart: influence of extracellular sodium // Ibid. — 1982. — 14, N 3. — P. 359—365.
  16. Hearse D. J., Baker J. E., Humphrey S. M. Verapamil and the Calcium paradox // Ibid. — 1980. — 12, N 7. — P. 733—740.
  17. Nakanishi G., Jarmakani J. The effect of extracellular sodium on mechanical function in the newborn rabbits // Develop. Pharmacol. Ther. — 1981. — 2. — P. 188—200.
  18. Nayler W. G. Calcium-mediated Damage during Post-ischemic reperfusion // J. Mol. and Cell. Cardiol. — 1988. — 20. — P. 41—54.
  19. Poole-Wilson P. A., Harding D. P., Bourdillon P. Calcium out control // Ibid. — 1984. — 16. — P. 175—188.
  20. Rosenshtraukh L. V., Saks V. A., Yuravichus I. et al. // Biochem. Med. — 1979. — 21. — P. 1—15.
  21. Rueedy P. Verapamil // Clin. Invest. Med. — 1981. — N 1. — P. 129—147.
  22. Ruigrok T. J. C. Possible mechanisms involved in the development of the calcium paradox // Gen. Physiol. and Biophys. — 1985. — N 4. — P. 155—165.
  23. Tunstall J., Busselen P., Rodrigo G. C., Charman R. A. Pathways for the Movements of ions during calcium-free perfusion and the induction of the «Calcium paradox» // J. Mol. and Cell. Cardiol. — 1986. — 18. — P. 241—254.
  24. Zimmekman A. N. E., Daems W., Hulsmann W. G. et al. Morphological changes of heart muscle caused by successive perfusion with calcium-free and calcium-containing solution («Calcium paradox») // Cardiovasc. Res. — 1967. — 1. — P. 201—209.

Воронеж. мед. ин-т им. Н. Н. Бурденко  
М-ва здравоохранения РСФСР

Материал поступил  
в редакцию 15.03.90

УДК 612.172—616.001.8

П. Б. Цывьян, А. Д. Васенина

## Неинвазивная оценка систолической и диастолической функций левого желудочка у новорожденных детей, перенесших гипоксию

У 32 здоровых новорожденных (I группа) и 22 новорожденных доношенных детей, перенесших гипоксию (II группа), в первые сутки жизни измеряли максимальное артериальное давление (АД) и, одновременно, конечно-систолический диаметр (КСД) левого желудочка (ЛЖ). В качестве показателя сократимости желудочка использовали тангенс угла наклона ( $\alpha$ ) зависимости «конечно-систолический диаметр — конечно-систолическое давление» (КСДД) в условиях нефармакологического изменения постнагрузки. У детей II группы обнаружены более низкие значения  $\alpha$  ( $5,9 \pm 0,6$ ), чем у детей I группы ( $14,4 \text{ мм рт. ст.}/(\text{см}^2) \pm 0,9$  мм рт. ст.  $/(\text{см}^2)$ ), а также меньшие значения показателей диастолической функции, которые вместе с  $\alpha$  могут служить ранними индексами постгипоксического повреждения миокарда новорожденных детей.

### Введение

Известно, что большинство традиционно используемых в клинике индексов оценки сократительной активности сердца (фракция выброса, скорость циркулярного укорочения волокон желудочка, ударный объем) зависит от условий механической нагрузки на миокард (пред- и постнагрузки) [6]. Отсюда понятен интерес исследователей, и особенно клиницистов, к поиску новых адекватных индексов сократимости миокарда и способов их определения.

В настоящее время найден относительно не чувствительный к ус-

© П. Б. Цывьян, А. Д. Васенина, 1991

ловиям нагрузки показательно-систолический объем левого желудочка [13]. Эта зависимость, тангенс угла наклона миокарда. Угол наклона зависит от инотропных воздействий, но существенное значение имеет полнение желудочка и перенос питательных веществ.

Несмотря на то, что (ЛЖ) по динамике его появления на животных уменьшается с возрастом, зависимость конечно-систолического объема от постнагрузки неизменна.

Построение зависимости конечно-систолического давления от постнагрузки. Для неинвазивных методов изменения постнагрузки, например, при супинации, очевидно, что такой подбор возможно после перинатальной гипоксии, возникающей в период беременности или в первые часы жизни, является серьезные повреждения миокарда, некрозов, инфарктов и кардиальных заболеваний, включая неонатальный период, вызывающие гипоксию, развивающуюся расширение миокарда, увеличение давления, уменьшение (УОК и МОК) соответствующих показателей [4].

Однако в ряде случаев из-за четкой картины сердечной деятельности, указанные параметры се- пределы нормы, но при уменьшении объема или давления не проявляются. Оценка индексов сократимости может быть определена на основе индексов на сердце.

Цель работы — оценка постнагрузки у новорожденных детей с помощью неинвазивного метода оценки постгипоксического повреждения левого желудочка у этой группы детей.

### Методика

Обследованы 32 здоровых новорожденных (I группа) и 22 доношенных детей, родившихся с оценкой постнагрузки. Во всех случаях гипоксия наблюдалась в первые сутки жизни. Кислотно-щелочное состояние определено венозной кровью. Все дети обследованы в первые сутки жизни после рождения. Вес составил 3352 г ± 127 г, рост 52,0 см ± 2,8 см. Проводили с помощью тонометра «Ausonyks» модели «1

to the Calcium paradox // Biomed. et  
in Calcium paradox //J. Mol. and Cell  
ischemic reperfusion in the isolated rat  
id.—1982.—14, N 3.—P. 359—365.  
Verapamil and the Calcium paradox //  
intracellular sodium on mechanical func-  
armacol. Ther.—1981.—2.—P. 188—200.  
re during Post-ischemic reperfusion //  
Non P. Calcium out control // Ibid.—  
us I. et al. // Biochem. Med.—1979.—  
1.—N 1.—P. 129—147.  
ved in the development of the calcium  
N 4.—P. 155—165.  
nan R. A. Pathways for the Movements  
induction of the «Calcium paradox» //  
1—254.  
W. G. et al. Morphological changes  
n with calcium — free and calcium-condi-  
diovasc. Res.—1967.—1.—P. 201—209.

Материал поступил  
в редакцию 15.03.90

ловиям нагрузки показатель сократимости сердца — зависимость «конечно-систолический объем — конечно-систолическое давление» желудочка [13]. Эта зависимость может быть представлена прямой линией, тангенс угла наклона которой является индексом сократимости миокарда. Угол наклона зависимости увеличивается при положительных инотропных воздействиях, таких как введение в кровоток катехоламинов, но существенно не изменяется от диастолического наполнения желудочка и периферического сопротивления [13].

Несмотря на то, что оценка изменений объема левого желудочка (ЛЖ) по динамике его поперечного размера довольно груба, в экспериментах на животных установлено, что зависимость «конечно-систолический объем — конечно-систолическое давление» может быть адекватно заменена зависимостью «диаметр — давление» [14]. Показано, что при изменении постнагрузки конечно-систолический диаметр ЛЖ линейно связан с систолическим давлением [7].

Построение зависимости «конечно-систолический диаметр — конечно-систолическое давление» (КСДД) осуществляют при изменении постнагрузки. Для неинвазивной оценки этой зависимости у взрослых людей изменение постнагрузки часто осуществляют фармакологически, например, при сублингвальном приеме нитроглицерина [10]. Очевидно, что такой подход невозможен у новорожденных детей, особенно после перинатальной гипоксии.

Гипоксия, возникающая как следствие патологически протекающей беременности или во время родового акта, нередко вызывает серьезные повреждения миокарда новорожденных, вплоть до развития некрозов, инфарктов и кардиогенного шока [1, 3]. При этом в ранний неонатальный период у детей, перенесших тяжелую острую и хроническую гипоксию, развиваются явления сердечной недостаточности, выражющиеся расширением границ сердца, снижением системного артериального давления, ударного и минутного объемов кровообращения (УОК и МОК соответственно), уменьшением фракции выброса и других показателей [4].

Однако в ряде случаев перинатальная гипоксия не вызывает развития четкой картины сердечной недостаточности, и в состоянии покоя указанные параметры сердечной деятельности могут не выходить за пределы нормы, но при увеличении нагрузки на сердце, в виде нагрузки объемом или давлением, состояние скрытой сердечной недостаточности проявляется. Оценка функции сердца посредством известных индексов сократимости может оказаться недостаточно эффективной, так как эти индексы в определенной мере зависят от условий механической нагрузки на сердце.

Цель работы — оценка состояния систолической функции сердца у новорожденных детей в норме и после перинатальной гипоксии с помощью неинвазивного определения зависимости КСДД ЛЖ, а также оценка постгипоксических изменений диастолической функции желудочка у этой группы детей.

#### Методика

Обследованы 32 здоровых доношенных новорожденных ребенка (контрольная группа) и 22 доношенных ребенка, перенесших гипоксию и родившихся с оценкой по шкале Апгар на 1-й минуте менее 3 баллов. Во всех случаях гипоксия была подтверждена клинически при исследовании кислотно-щелочного равновесия в крови пуповины и затем чрезкожном определении напряжения кислорода в капиллярной крови. Все дети обследованы в первые сутки жизни не ранее, чем через 6 ч после рождения. В среднем масса детей контрольной группы составила  $3\ 352\ g \pm 127\ g$ , рост  $51,5\ cm \pm 0,5\ cm$ , основной группы —  $3\ 282\ g \pm 218\ g$ , рост  $52,0\ cm \pm 0,5\ cm$ . Эхокардиографическое исследование проводили с помощью ультразвукового диагностического аппарата «Ausonyks» модели «MI-1000» (Австралия) в секторном и М-режимах.

максимум датчиков частотой 7,5 МГц в положении ребенка лежа на спине с приподнятым на 10° головным концом кроватки. Измерение артериального давления (АД) проводили с помощью осциллометрического метода. Вокруг плеча одной из рук фиксировали резиновую манжету, изменение давления в которой регистрировали с помощью монитора «ВМТ-401» (ГДР). Сигнал от последнего подавали на вход быстродействующего самопищущего прибора «Н-3021-3». Дистальнее манжеты на руке новорожденного фиксировали датчики тэтраполярного реоплетизографа «РПГ-2-02». Снижение давления в манжете сопровождалось появлением пульсовой волны на реографическом канале. Синхронная запись обоих процессов на диаграммной ленте прибора обеспечивала измерение максимального АД с точностью до 1 мм рт. ст. Одновременно с этим измерением проводили эхокардиографическое исследование ЛЖ в М-режиме. При регистрации максимального АД фиксировали изображение полости ЛЖ на экране ультразвукового аппарата.

В соответствии с общепринятой методикой [5] вычисляли следующие эхокардиографические показатели:

КСД — конечно-систолический диаметр ЛЖ, см; КДД — конечно-диастолический диаметр ЛЖ, см; ФУ — фракция укорочения диаметра ЛЖ во время систолы, %; УОС — ударный объем сердца, нормированный на массу тела, мл/кг; СВ — сердечный выброс, мл·мин<sup>-1</sup>·кг<sup>-1</sup>,  $v_{cf}$  — максимальная скорость циркулярного укорочения волокон ЛЖ, см<sup>-1</sup>;  $v_{cd}$  — максимальная скорость уменьшения диаметра ЛЖ, нормированная на КДД, см<sup>-1</sup>;  $v_{ed}$  — максимальная скорость увеличения диаметра ЛЖ, нормированная на КДД, см<sup>-1</sup>.

У всех детей измеряли также время изоволюмического расслабления (ВИР) ЛЖ. Оно соответствовало периоду от момента достижения минимального размера полости ЛЖ до открытия митрального клапана. Момент достижения минимального размера ЛЖ устанавливали по началу II сердечного тона (тона закрытия аортального клапана) при одновременной регистрации фонокардиограммы с помощью «Myngograph 34».

Состояние ЛЖ новорожденных детей оценивали следующим образом. У находящегося в горизонтальном положении ребенка регистрировали исходное значение максимального АД (АД<sub>1</sub>) и, одновременно, КСД ЛЖ (КСД<sub>1</sub>). Затем в двух резиновых манжетах, закрепленных на обеих ногах на уровне середины бедра, создавали давление 120 мм рт. ст. За счет возрастания сопротивления СВ наблюдалось повышение АД<sub>1</sub> в среднем на (7,8±2,6) мм рт. ст. В условиях пережатия манжетами сосудов ног измеряли АД<sub>2</sub> и КСД<sub>2</sub>. Оба значения КСД нормировали на площадь поверхности тела ребенка. Продолжительность пережатия манжетами ног не превышала 60 с.

В качестве физиологически обоснованного чувствительного индекса сократительной функции ЛЖ использован тангенс угла наклона ( $\alpha$ ) зависимости «максимальное систолическое давление — конечно-систолический диаметр желудочка», который вычисляли по формуле:  $\alpha = (\text{АД}_2 - \text{АД}_1) / (\text{КСД}_2 - \text{КСД}_1)$ .

У детей обеих групп не происходило значимого изменения частоты сердечных сокращений (ЧСС) при пережатии ног манжетами. Так, у детей контрольной группы в покое и при пережатии манжетами ног ЧСС составила 119,7±13,7 и 116,3 мин<sup>-1</sup>±14,1 мин<sup>-1</sup> соответственно, у детей основной группы — 122,6±16,7 и 118,5 мин<sup>-1</sup>±15,3 мин<sup>-1</sup> соответственно.

### Результаты и их обсуждение

Средние значения основных показателей сердечной деятельности, оцененные с помощью эхокардиографии, и измерения АД представлены в табл. 1. У детей основной группы наблюдается небольшое, но

значимое увеличение КДД у детей основной и контрольной групп.

Ранее, при анализе взрослых, было показано, что помимо механизма низкого УОК [11]. Так, для изгнания 60% в нормальном состоянии (26%) уменьшение тонуса уменьшение окружности при фракции изгнания перенесших гипоксию, нестабильности, позволяющим сердце тогда, когда ФУ уже существо-

Таблица 1. Показатели состояния ЛЖ здоровых новорожденных (группа II)

Показатель
Частота сердечных сокращений, мин <sup>-1</sup>
Систолическое артериальное давление, мм рт. ст.
Конечно-систолический диаметр ЛЖ, см
Конечно-диастолический диаметр (КДД), см
Фракция укорочения диаметра ЛЖ, %
Максимальная «скорость» сокращения циркулярного укорочения волокон ЛЖ
Уменьшение диаметра ЛЖ (нормированная по КДД)
Увеличение диаметра ЛЖ (нормированная по КДД)
Ударный объем сердца (нормированный по массе тела), мл/кг
Сердечный выброс, мл/мин·кг
Время изоволюмического расслабления ЛЖ, с <sup>-2</sup>
Тангенс угла наклона зависимости «конечно-систолическое давление — конечно-систолический диаметр желудочка», мм рт. ст. / (см <sup>2</sup> )

Тем не менее, в группе здоровых детей  $\alpha = 0,9$ , а в сердце новорожденных  $\alpha = 0,6$  мм рт. ст. / (см<sup>2</sup>) этой зависимости у здоровых детей гипоксию [2]. Тангенс угла наклона производительности не изменился, а зависимость от времени небольшой.

Остановимся на оценке новополагающей работе сердца при небольшом гипоксии. Эти данные были получены относительно небольшого количества детей.

сении ребенка лежа на спине с кроватки. Измерение артериальной давления с помощью осциллометрического ксирировали резиновую манжету, нировали с помощью монитора и подавали на вход быстродействующему прибору 3021-3. Дистальнее манжеты атчики тетраполярного реоплеления в манжете сопровождались реографическом канале. Синграммной ленте прибора обеспечивалась точностью до 1 мм рт. ст. проводили эхокардиографическое регистрацию максимального АД К на экране ультразвукового одикой [5] вычисляли следующие показатели: КДД — конечно-диастолическая укорочение диаметра ЛЖ объем сердца, нормированный выброс,  $\text{мл} \cdot \text{мин}^{-1} \cdot \text{кг}^{-1}$ ,  $v_{cf}$  — укорочение волокон ЛЖ,  $\text{с}^{-1}$ ; диаметра ЛЖ, нормированная скорость увеличения диаметра изоволюмического расслабления периода от момента достижения ЛЖ до открытия митрального размера ЛЖ устанавливается закрытия аортального клапана кардиограммы с помощью

оценивали следующим образом положении ребенка регистрируемого АД ( $A_{D_1}$ ) и, одновременно, в зиновых манжетах, закрепленных на бедра, создавали давление сопротивления СВ на  $(7,8 \pm 2,6)$  мм рт. ст. судов ног измеряли  $A_{D_2}$  и на площадь поверхности пережатия манжетами ног

известного чувствительного индекса тангенс угла наклона линии давления — конечно-диастолический вычисляли по формуле:

значимого изменения частоты сокращений ног манжетами. Так, при пережатии манжетами ног  $\pm 14,1 \text{ мин}^{-1}$  соответственно, у  $118,5 \text{ мин}^{-1} \pm 15,3 \text{ мин}^{-1}$  соот-

ствует сердечной деятельности, и измерения АД представляются наблюдается небольшое, но

значимое увеличение КСД ЛЖ. При этом УОК, ЧСС и МОК у детей основной и контрольной групп не отличаются.

Ранее, при анализе компенсации сердечной недостаточности у взрослых, было показано, что небольшая дилатация желудочка позволяет, помимо механизма Франка — Старлинга, поддерживать адекватный УОК [11]. Так, для обеспечения нормальных УОК и фракции изгнания 60 % в нормальном желудочке необходимо довольно большое (26 %) уменьшение окружности последнего, тогда как при дилатации уменьшение окружности на 9 % обеспечивает нормальный выброс при фракции изгнания 25 % [11]. Возможно, у новорожденных, перенесших гипоксию, небольшая дилатация является фактором адаптации, позволяющим сердцу поддерживать нормальный УОК даже тогда, когда ФУ уже существенно уменьшена.

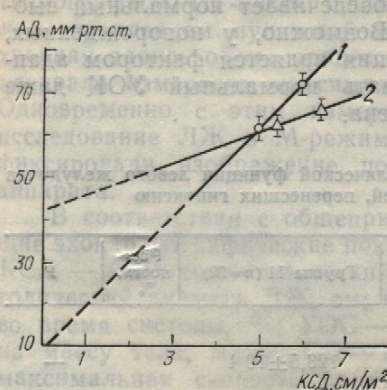
Таблица 1. Показатели систолической и диастолической функции левого желудочка (ЛЖ) здоровых новорожденных (группа I) и детей, перенесших гипоксию (группа II)

Показатель	Группа I (n=32)	Группа II (n=22)	Разность, %	P
Частота сердечных сокращений, мин <sup>-1</sup>	$119,7 \pm 13,7$	$123,5 \pm 10,4$	—	
Систолическое артериальное давление, мм рт. ст.	$65,3 \pm 10,8$	$67,4 \pm 12,2$	—	
Конечно-систолический диаметр ЛЖ, см	$1,02 \pm 0,12$	$1,25 \pm 0,14$	+19	<0,01
Конечно-диастолический диаметр (КДД), см	$1,77 \pm 0,15$	$1,89 \pm 0,16$	+7	<0,05
Фракция укорочения диаметра ЛЖ, %	$41,0 \pm 6,9$	$33,8 \pm 5,2$	-18	<0,01
Максимальная «скорость» циркулярного укорочения волокон ЛЖ	$2,13 \pm 0,39$	$1,43 \pm 0,18$	-33 %	<0,001
Уменьшение диаметра ЛЖ (нормированная по КДД)	$1,86 \pm 0,21$	$1,46 \pm 0,30$	-22 %	<0,01
Увеличение диаметра ЛЖ (нормированная по КДД)	$4,11 \pm 0,80$	$2,14 \pm 0,48$	-48 %	<0,001
Ударный объем сердца (нормированный по массе тела), мл/кг	$2,12 \pm 0,63$	$2,16 \pm 0,43$	—	
Сердечный выброс, мл/мин·кг	$253,3 \pm 76,3$	$264,8 \pm 72,4$	—	
Время изоволюмического расслабления ЛЖ, с <sup>-3</sup>	$35,5 \pm 5,8$	$63,4 \pm 14,7$	+44 %	<0,001
Тангенс угла наклона зависимости «конечно-систолическое давление — конечно-диастолический диаметр желудочка», мм рт. ст./( $\text{см}/\text{м}^2$ )	$14,4 \pm 0,9$	$5,9 \pm 0,6$	-59 %	<0,001

Тем не менее, обе группы значимо различаются по а. В группе здоровых детей значение этого показателя составило  $(14,4 \pm 0,9)$ , а в сердце новорожденных, перенесших гипоксию, —  $(5,9 \pm 0,6)$  мм рт. ст. ( $\text{см}/\text{м}^2$ );  $P < 0,001$ . На рисунке представлены графики этой зависимости у здоровых новорожденных детей (1) и детей, перенесших гипоксию (2). Таким образом, несмотря на то, что в состоянии покоя производительность сердца у детей, перенесших гипоксию, практически не изменилась, оценка систолической функции сердца с помощью а зависимости КСДД позволяет выявить у них скрытую сердечную недостаточность.

Остановимся на ограничениях предложенного метода. В своей основополагающей работе Suga и соавт. [13] показали, что на угол наклона зависимости КСДД не влияет пред- и постнагрузка. Однако эти данные были получены для изолированного сердца и в условиях относительно небольшого изменения этих параметров. В условиях

*in situ* показано, что угол наклона зависимости КСДД уменьшается при снижении преднагрузки в результате пережатия полых вен [12] и изменяется при вариации ЧСС в диапазоне 60—120 мин<sup>-1</sup> [8]. В нашем случае, когда продолжительность повторного измерения не превышала 60 с, мы не отметили никакого изменения КДД ЛЖ по сравнению с таковым до пережатия ножек. ЧСС также существенно не изменилась, что можно объяснить относительно небольшим приростом систолического давления в результате проведения пробы. Следует отметить, что относительно небольшое увеличение постнагрузки (в среднем на 7,8 мм рт. ст.) позволяет предположить, что на таком отрезке зависимости мы имеем дело с линейной функцией, несмотря на то, что она может быть нелинейной во всем диапазоне постнагрузок, как это было показано для изолированного сердца щенков [15].



Зависимости «максимальное систолическое давление (АД) — конечно-систолический диаметр (КСД) левого желудочка» у здоровых детей (I) и детей, перенесших гипоксию (2).

Среди остальных показателей сердечной деятельности, как видно из табл. 1, существенные различия наблюдаются при сравнении значений скоростных показателей систолической и диастолической функции ЛЖ. При гипоксии в наибольшей мере уменьшается скорость диастолического наполнения желудочка. Так, если  $v_{cd}$  ЛЖ снижается у детей основной группы в среднем на 22% ( $P < 0,01$ ), а  $v_{cf}$  на 33% ( $P < 0,01$ ), то  $v_{ed}$  ЛЖ снижается на 48% ( $P < 0,001$ ). При этом продолжительность фазы изоволюмического расслабления увеличивается на 44% ( $P < 0,001$ ), а значение показателя  $\alpha$  уменьшается на 59% ( $P < 0,001$ ).

Скорость сокращения и расслабления зависят от меры укорочения диаметра ЛЖ и состояния сократимости миокарда. Поэтому необходимо оценить вклад гипоксического повреждения миокарда в изменение скоростных показателей. Для этого на ЭВМ «ЕС-1045» с использованием пакета прикладных программ SAS были рассчитаны коэффициенты корреляции показателей ФУ,  $v_{cf}$ ,  $v_{cd}$  и  $v_{ed}$  для детей контрольной (нормоксия) и основной (гипоксия) групп. Из табл. 2 видно, что гипоксия вызвала увеличение коэффициентов парной корреляции ФУ и  $v_{cf}$ , ФУ и  $v_{cd}$ , но привела к резкому уменьшению коэффициента парной корреляции (от 0,45 до 0,26) ФУ и скорости расслабления задней стенки желудочка. Это свидетельствует о том, что уменьшение скорости диастолического наполнения желудочка при гипоксии нельзя объяснить только мерой укорочения волокон миокарда в период систолы. Возможно, что резкое снижение скорости расслабления и исчезновение корреляции этого показателя и меры укорочения отражают гипоксическое повреждение сердечной мышцы новорожденных. Напротив, увеличение коэффициентов корреляции ФУ и  $v_{cf}$  и  $v_{cd}$  позволяет предположить, что в данной ситуации именно уменьшение ФУ может определять снижение скорости сокращения ЛЖ при гипоксии.

Таким образом, при скрытой сердечной недостаточности у новорожденных влияние гипоксии проявляется прежде всего в снижении скорости диастолического наполнения ЛЖ и увеличении ВИР. Этот вывод подтверждается результатами экспериментов: замедление расслабления в условиях гипоксии показано в изолированном миокарде взрослых и новорожденных млекопитающих [9].

Полученные результаты с снижением а зависимости КСД до наполнения может служить сердечной недостаточности.

Таблица 2. Значение коэффициентов показателей сердечной деятельности и новорожденных детей после гипоксии

Показатель	Группа
ФУ	I
$v_{cf}$	II
$v_{cd}$	I
$v_{ed}$	II

Примечание. \*  $P < 0,05$ ; \*\*  $P < 0,01$ .

Ранее показано, что ритм сердца регулируется в основном (т. е. обусловливается мерой этого) продолжительность периода диастолы ЛЖ. Понятно, что в эти обстоятельствах это значение для периода диастолы ЛЖ. Поэтому в фазу скрытой сердечной недостаточности, наряду с улучшением, должны быть направлены на снижение его диастолической ж

Р. В. Тsvyyan, A. D. Vasenina

#### NONINVASIVE ASSESSMENT OF LEFT VENTRICLE OF NEWBORN CHILDREN

To assess possible changes in myocardium after mild perinatal asphyxia, maximum rate of left ventricular relaxation (ESPDR) was used as a reliable indicator. The slope of ESPDR and some other parameters from group II newborns from group I were compared. Relaxation and filling can serve as early damage.

Institute of Mother and Child Care, Ministry of Public Health of RSFSR, Sovetsk

#### СПИСОК ЛИТЕРАТУРЫ

- Добронравов А. В., Добронравов А. А. Скорость сокращения и расслабления миокарда у детей грудного возраста // Дети и молодежь. — С. 24—27.
- Цывьян П. Б., Артемьев О. Г. История и современность проблем ритмозависимые характеристики сердца человека. — 1987.—13, № 5.
- Cabal L. A., Devaskar U., Siassi F. Effect of hypoxia on myocardial function in preterm infants // J. Pediatr. 1988; 113: 102—106.
- DiSessa T. G., Leitner M., Gluck L. Hypoxic myocardial contractility in the severely asphyxiated neonate // J. Pediatr. 1988; 113: 102—106.
- Goldberg S. J., Allen H. D. Pediatric Cardiology. — Chicago: Year Book Publisher, 1987.
- Mahler F., Ross J. Jr., O'Rourke R. Hypoxic myocardial contractility and inotropic state on exercise in conscious dog // Amer. J. Physiol. 1988; 254: H1031—H1036.

ависимости КСДД уменьшается при пережатии полых вен [12] и в диапазоне 60—120 мин<sup>-1</sup> [8]. В повторного измерения не превышают изменения КДД ЛЖ по сравнению с ЧСС также существенно небольшим приростом проведения пробы. Следует отметить, что относительно небольшое значение постнагрузки (в среднем 10 мм рт. ст.) позволяет предположить, что на таком отрезке зависимости имеем дело с линейной функцией независимо от того, что она может быть нелинейной во всем диапазоне грузок, как это было показано для изолированного сердца щенка [5].

«максимальное систолическое давление (АД) — конечно-систолический диаметр левого желудочка» у здоровых (I) и детей, перенесших гипоксию (II).

дечной деятельности, как видно, людаются при сравнении значительной и диастолической функции: уменьшается скорость диастолы, если  $v_{cd}$  ЛЖ снижается у детей ( $P < 0,01$ ), а  $v_{cf}$  на 33 % ( $P < 0,05$ ) ( $P < 0,001$ ). При этом продолжительность расслабления увеличивается на 10 % и уменьшается на 59 % ( $P <$

ия зависят от меры укорочения миокарда. Поэтому необходимо изучение миокарда в измененных условиях ЭВМ «ЕС-1045» с использованием SAS были рассчитаны коэффициенты  $v_{cf}$ ,  $v_{cd}$  и  $v_{ed}$  для детей контроольной группы. Из табл. 2 видно, что коэффициент парной корреляции к резкому уменьшению коэффициента ФУ и скорости расслабления свидетельствует о том, что наполнение желудочка при гипоксии укорочения волокон миокарда и снижение скорости расслабления — показатели и меры укорочения сердечной мышцы новорожденных корреляции ФУ и  $v_{cf}$  и  $v_{cd}$ . Ситуации именно уменьшение скорости сокращения ЛЖ при

сердечной недостаточности у новорожденных прежде всего в снижении ПЖ и увеличении ВИР. Этот экспериментов: замедление расслабления в изолированном миокарде их [9].

Полученные результаты свидетельствуют о том, что наряду со снижением  $v_{cf}$  зависимости КСДД уменьшение скорости диастолического наполнения может служить одним из ранних признаков скрытой сердечной недостаточности.

Таблица 2. Значение коэффициентов парной корреляции некоторых показателей сердечной деятельности у здоровых (I) и новорожденных детей после перенесенной гипоксии (II)

Показатель	Группа	$v_{cf}$	$v_{cd}$	$v_{ed}$
ФУ	I	0,85***	0,32*	0,45**
	II	0,89***	0,51**	0,26
$v_{cf}$	I		0,25	0,32
	II		0,44**	0,15
$v_{cd}$	I			0,27
	II			-0,18

Примечание. \*  $P < 0,05$ ; \*\*  $P < 0,01$ ; \*\*\*  $P < 0,001$ .

Ранее показано, что ритмозависимость СВ у новорожденных детей регулируется в основном через механизм Франка — Старлинга (т. е. обусловливается мерой диастолического наполнения) [2]. При этом продолжительность периода диастолы лимитирует меру наполнения ЛЖ. Понятно, что в этих условиях скорость расслабления приобретает особое значение для эффективного наполнения желудочка. Поэтому в фазу скрытой сердечной недостаточности лечебные мероприятия, наряду с улучшением сократительной функции миокарда, должны быть направлены на коррекцию расслабления миокарда и на снижение его диастолической жесткости.

Р. В. Тsviyap, А. Д. Vasenina

#### NONINVASIVE ASSESSMENT OF SYSTOLIC AND DIASTOLIC FUNCTIONS OF LEFT VENTRICLE OF NEWBORN INFANTS AFTER HYPOXIA

To assess possible changes in myocardial contractile function and relaxation occurring after mild perinatal asphyxia, maximal blood pressure and M-mode echocardiograms should be registered simultaneously in 32 normal term newborns (group I) and in 22 term asphyxiated newborns (group II). The slope of end-systolic pressure-dimension relation (ESPDR) was used as a reliable index for evaluation of the myocardial contractility. The slope of ESPDR and some indices of ventricular relaxation decreased in newborns from group II. It is suggested that ESPDR and parameters of left ventricular relaxation and filling can serve as early and sensitive indices of hypoxic myocardial damage.

Institute of Mother and Child Care,  
Ministry of Public Health of RSFSR, Sverdlovsk

#### СПИСОК ЛИТЕРАТУРЫ

1. Добронравов А. В., Добронравов В. А. Инфаркты миокарда у новорожденных детей и детей грудного возраста // Вопр. охраны материнства и детства. — 1986. — № 1. — С. 24—27.
2. Цывьян П. Е., Артемьева О. Г., Изаков В. Я., Чащин Г. В. Производительность и ритмозависимые характеристики сердечного выброса новорожденных детей // Физиология человека. — 1987. — 13, № 5. — С. 797—803.
3. Cabal L. A., Devaskar U., Siassi B. Cardiogenic shock associated with perinatal asphyxia in preterm infants // J. Pediatr. — 1980. — 96, N 4. — P. 705—710.
4. DiSessa T. G., Leitner M., Gluck L., Coen R. The cardiovascular effects of dopamine in the severely asphyxiated neonates // Ibid. — 1981. — 98, N 5. — P. 772—776.
5. Goldberg S. J., Allen H. D., Sahn D. J. Pediatric and adolescent echocardiography. — Chicago: Year Book Publishers Inc., 1980. — 280 p.
6. Mahler F., Ross J. Jr., O'Rourke R. A., Covell J. W. Effects of changes in preload, afterload and inotropic state on ejection and isovolumic phase measures of contractility in conscious dog // Amer. J. Cardiol. — 1975. — 35. — P. 626—634.

7. Mahler F., Covell J. W., Ross J. Jr. Systolic pressure-diameter relations in normal conscious dog // *Cardiovasc. Res.* — 1975. — 9, N 4. — P. 55—63.
8. Maughan L., Sunagawa K., Burkhoff D. Effect of heart rate on the canine end-systolic pressure-volume relationship // *Circulation*. — 1985. — 72, N 3. — P. 654—659.
9. Nakanishi T., Young H. H., Shimizu T. The relationship between myocardial enzyme release and Ca uptake during hypoxia and reoxygenation in the newborn and adult heart // *J. Mol. Cell. Cardiol.* — 1984. — 16, N 6. — P. 519—532.
10. Reichek N., Wilson J., Sutton M. Noninvasive determination of left ventricular end-systolic stress: validation of the method and initial application // *Circulation*. — 1982. — 65, N 1. — P. 99—108.
11. Ross J. Jr. Mechanism of cardiac contraction. What roles for preload, afterload and inotropic state in heart failure? // *Eur. Heart. J.* — 1983. — 4, N 1. — P. 19—28.
12. Su J. B., Crozier B. Preload-induced curvilinearity of left ventricular end-systolic pressure-volume relations // *Circulation*. — 1989. — 79, N 2. — P. 431—440.
13. Suga H., Sagawa K., Shoukas A. Load independence of the instantaneous pressure-volume ratio of the canine left ventricle and effects of epinephrine and heart rate on the ratio // *Circ. Res.* — 1973. — 32, N 10. — P. 582—592.
14. Suga H., Sagawa K. Assessment of absolute volume from diameter of the intact canine left ventricular cavity // *J. Appl. Physiol.* — 1974. — 36, N 4. — P. 496—499.
15. Suga H., Yamada O., Goto Y., Igarashi Y. Peak isovolumic pressurevolume relation of puppy left ventricle // *Amer. J. Physiol.* — 1986. — 250, N 2. — P. 167—172.

Свердловск, ин-т охраны материнства  
и младенчества М-ва здравоохранения РСФСР

Материал поступил  
в редакцию 6.06.90

В. Ф. Сагач, И. В. Фролькис, Т. Н. Коваленко, В. А. Диброва

## Возрастные особенности участия эндотелия в реакциях гладких мышц сосудов на действие гормонов. Роль ультраструктурных изменений

В исследованиях на изолированных препаратах бедренной артерии и аорты зрелых и старых крыс и коронарных артерий взрослых и старых людей установлено, что эндотелий прямо не участвует в реализации действия инсулина и вазопрессина на гладкие мышцы исследуемых сосудов, а оказывает модулирующее влияние на действие этих препаратов на сосуды в зрелом возрасте. Отсутствие модулирующего влияния эндотелия в старости может быть связано с отмеченными в электронно-микроскопических исследованиях нарушениями ультраструктуры эндотелиальных клеток и утолщением гематоцеллюлярного барьера сосудистой стенки.

### Введение

В последние годы сосудистый эндотелий привлекает пристальное внимание исследователей в связи с его участием в развитии реакции сосудистой стенки на различные воздействия. Работами ряда авторов [6, 13—15 и др.] показано, что эндотелий принимает активное участие в расслаблении сосудистой стенки под влиянием многих веществ, таких как ацетилхолин, гистамин, серотонин, АТФ, АДФ, брадикинин, тромбин и другие, так как деэндотелизация предупреждает релаксирующее действие этих веществ. Показано, что влияние этих веществ на гладкие мышцы (ГМ) сосудов опосредуется эндотелий зависимым релаксирующим фактором [5, 10—12]. Действие этого фактора специфично для разных сосудов [5, 7, 8], что объясняется структурной и метаболической гетерогенностью эндотелиальных клеток (ЭК), различиями числа рецепторов [9]. Несмотря на интенсивное исследование

© В. Ф. САГАЧ, И. В. ФРОЛЬКИС, Т. Н. КОВАЛЕНКО, В. А. ДИБРОВА, 1991

влияния ЭК на функцию малоизученным. Так, результаты изучения а участия ЭК в действии Мало внимания пока на функционирование

С учетом вышеприведенного возможного участия сина на ГМ сосудов выяснение связи с действием и компонентов

### Методика

Исследования проводились у крыс (8 мес) и старых (24—28 месяцев) взрослых (30—45 лет) людей. Для срочного вскрытия, всасывания из сосудов, стенки указанных сосудов обрабатывались раствором, придавали изначальную форму, регистрировали на видеомагнитном аппарате БМХС и записывали одних и тех же премедикаций всех показателей. Использовали для записи сина (фирма «Sigma»). Для медицинских препаратов применяли механическую бумагу, и для трипсина в течении помочью электронного микроскопа осуществляли через чувствительности и судов судили по макроанатомическим начальным регистрациям в буферном растворе осмия. Ткань обезжиривали ацетоне, заливали приготовленные на растворах уранила трансформации фотографиях проявления гематоцеллюлярного

### Результаты и их обсуждение

На рис. 1 представлена схема бедренной артерии крысы, а также коронарных артерий людей по сравнению с крысами. На рисунке показано, что инсулин (б), их гладких мышц, вызываемое инсулином, не изменяется, что особенно выражено для гиперполаризованного состояния. При